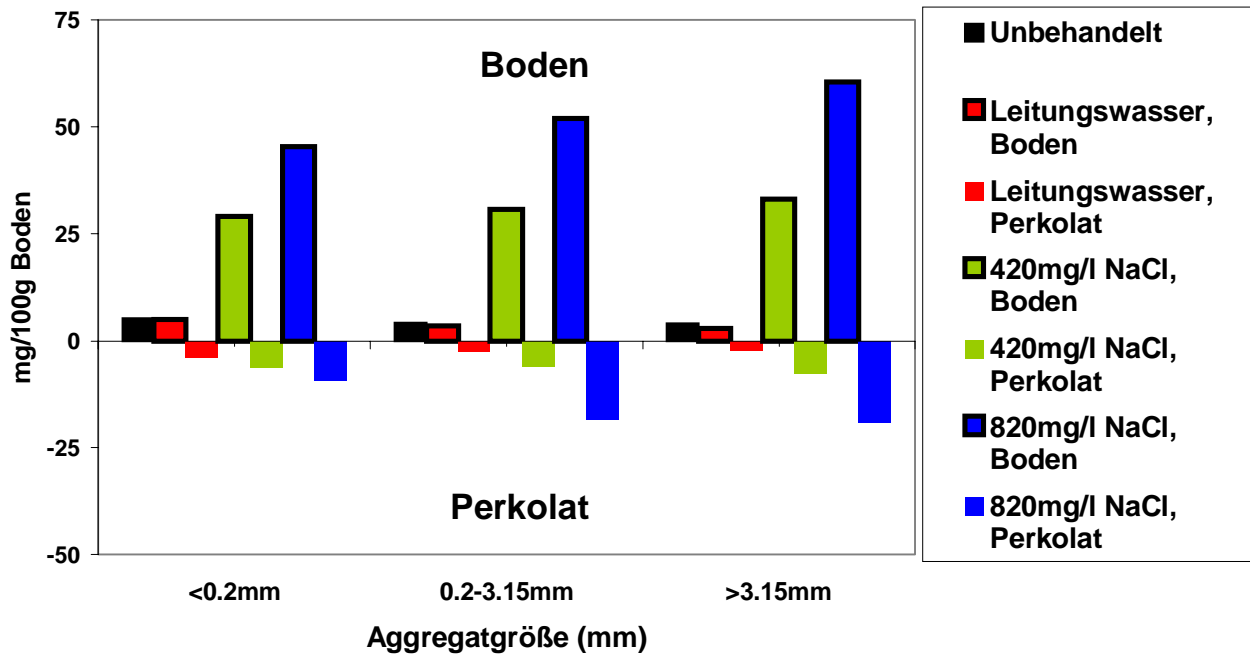
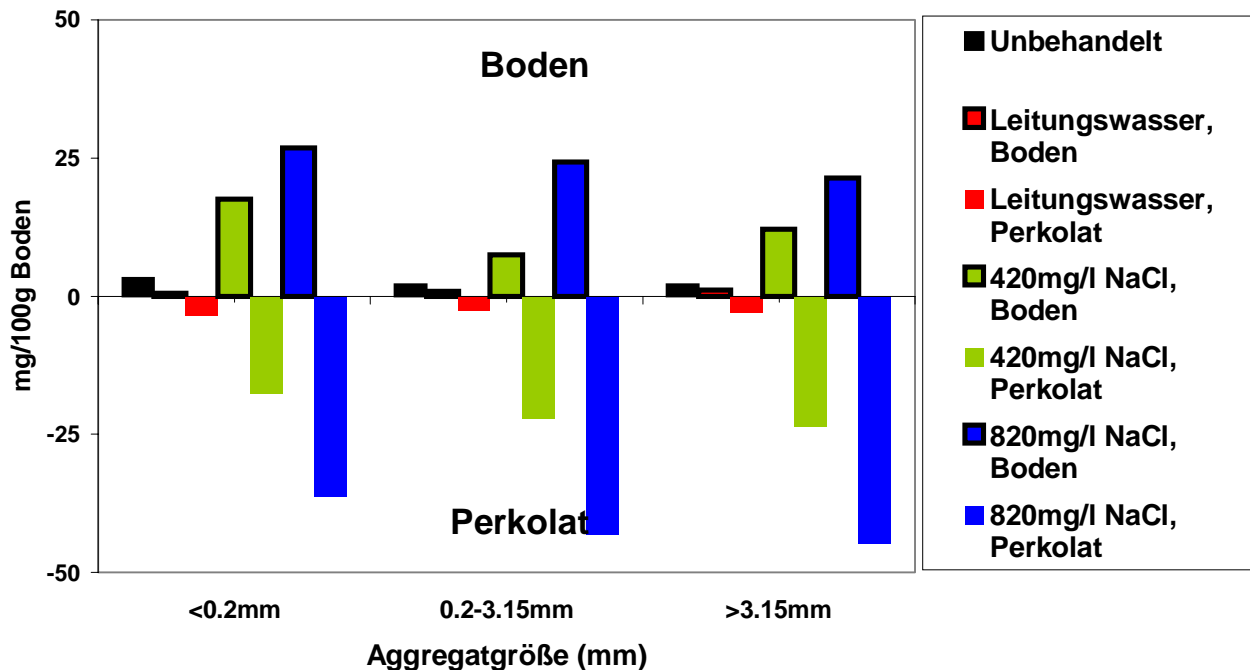


**Natrium, Standort III (49% Ton)**

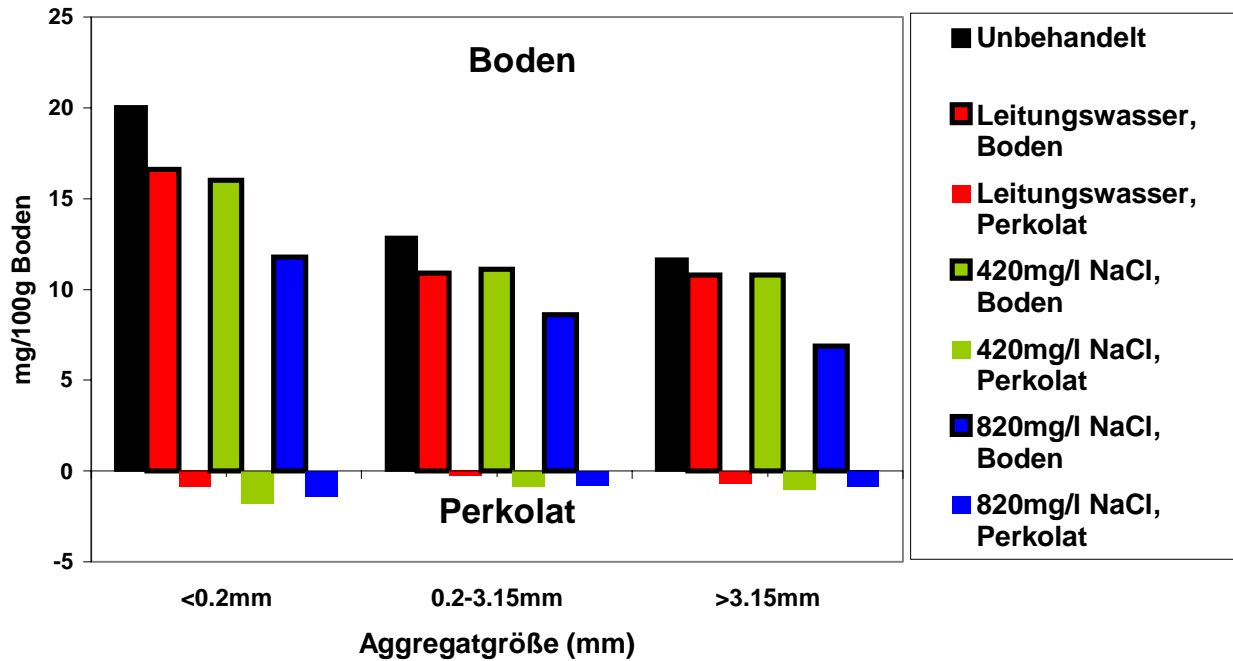


**Natrium, Standort V (12% Ton)**

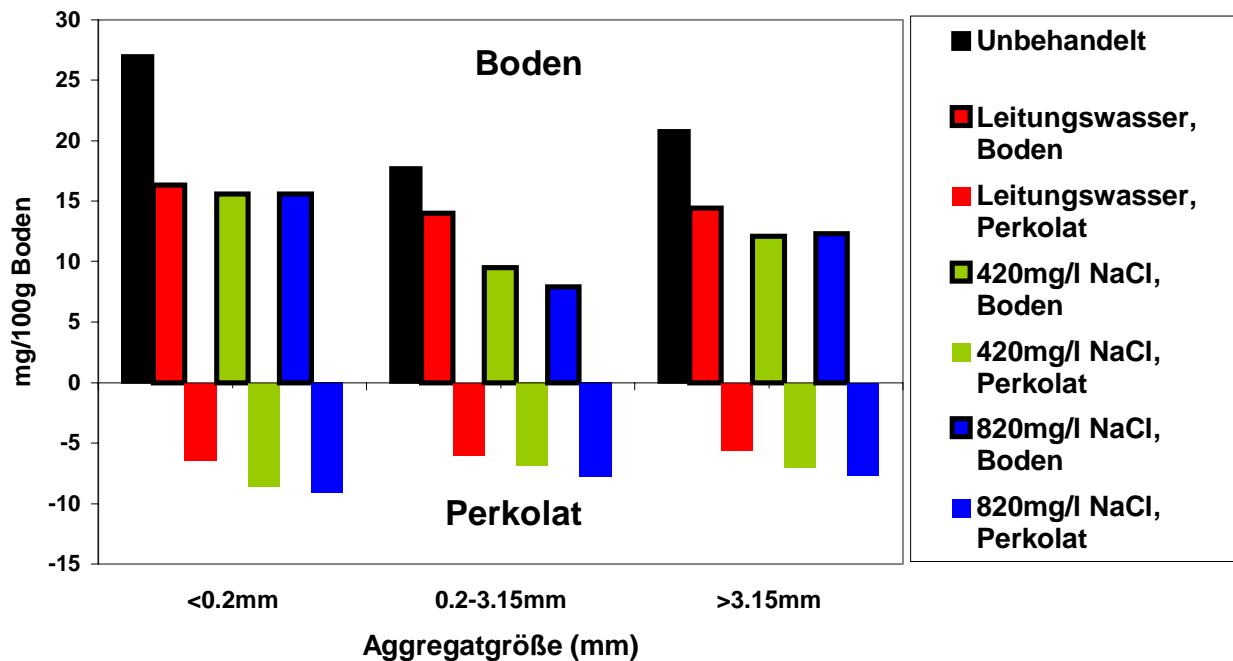


**Abb. 17-I: Ad- und Desorption von Natrium unter dem Einfluß von Leitungswasser und mit NaCl angereicherten Wässern in Abhängigkeit von der Aggregatsiebgröße bei zwei unterschiedlichen Böden (Standort III: 49% Ton; Standort V: 12% Ton). (HAGHIGHI, 1998)**

### Kalium, Standort III

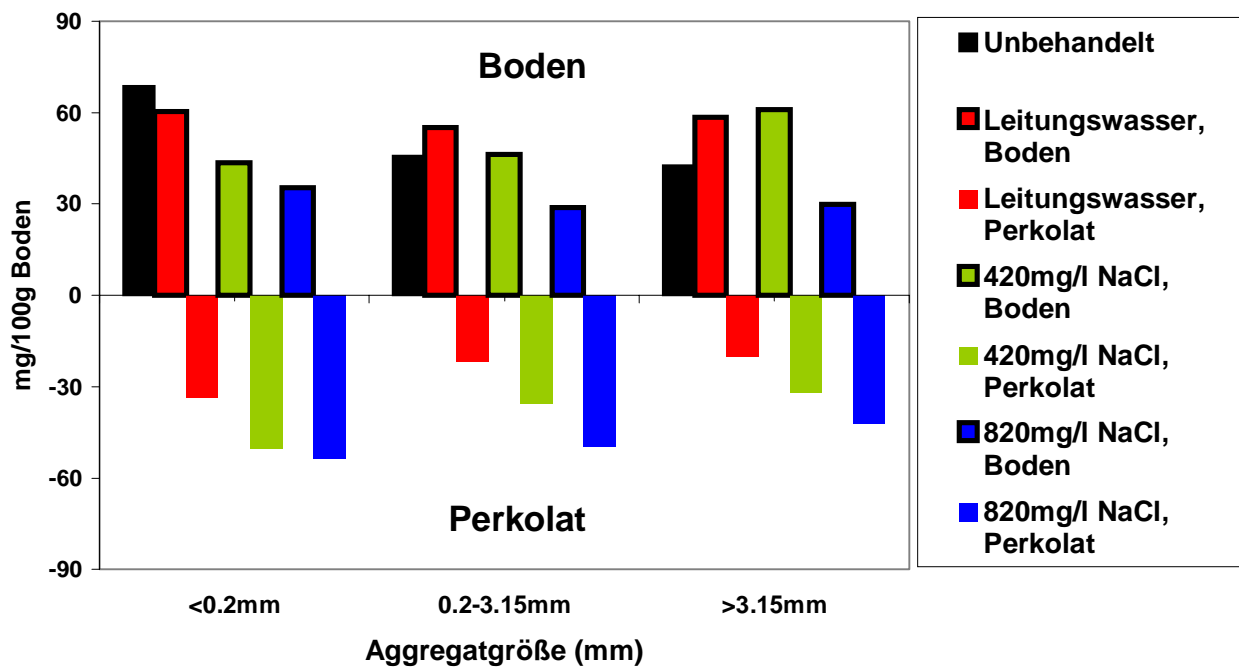


### Kalium, Standort V

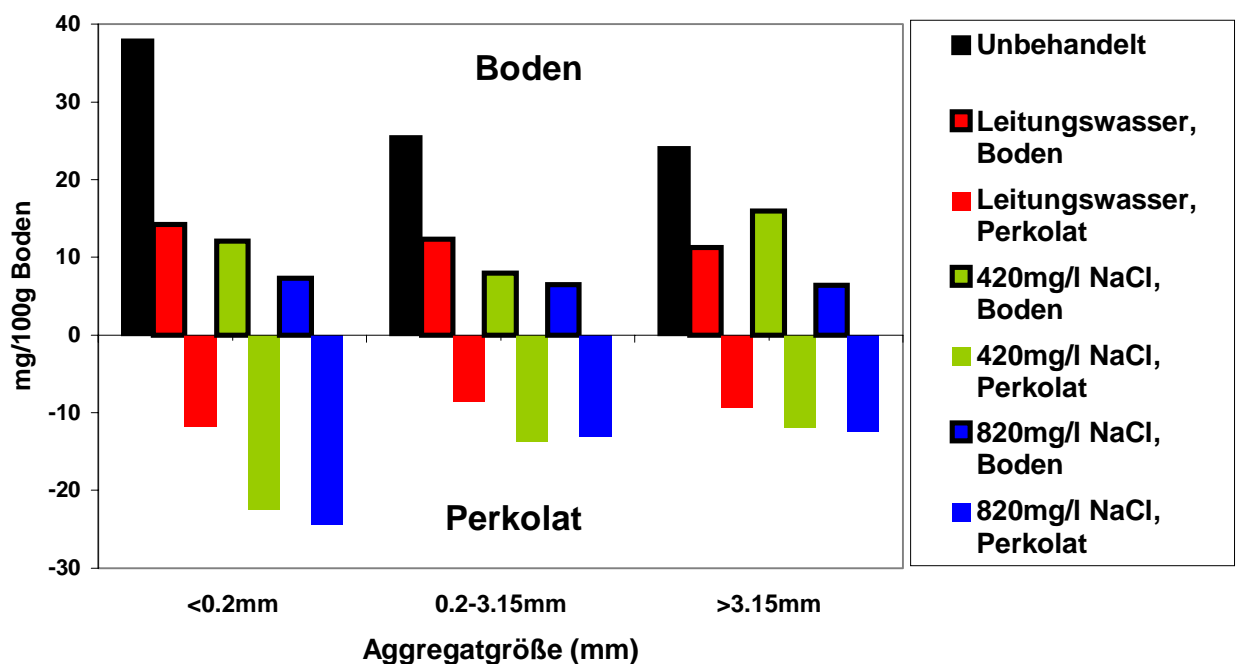


**Abb. 17-II: Ad- und Desorption von Kalium unter dem Einfluß von Leitungswasser und mit NaCl angereicherten Wässern in Abhängigkeit von der Aggregatsiebgröße bei zwei unterschiedlichen Böden (Standort III: 49% Ton; Standort V: 12% Ton). (HAGHIGHI, 1998)**

### Calcium, Standort III

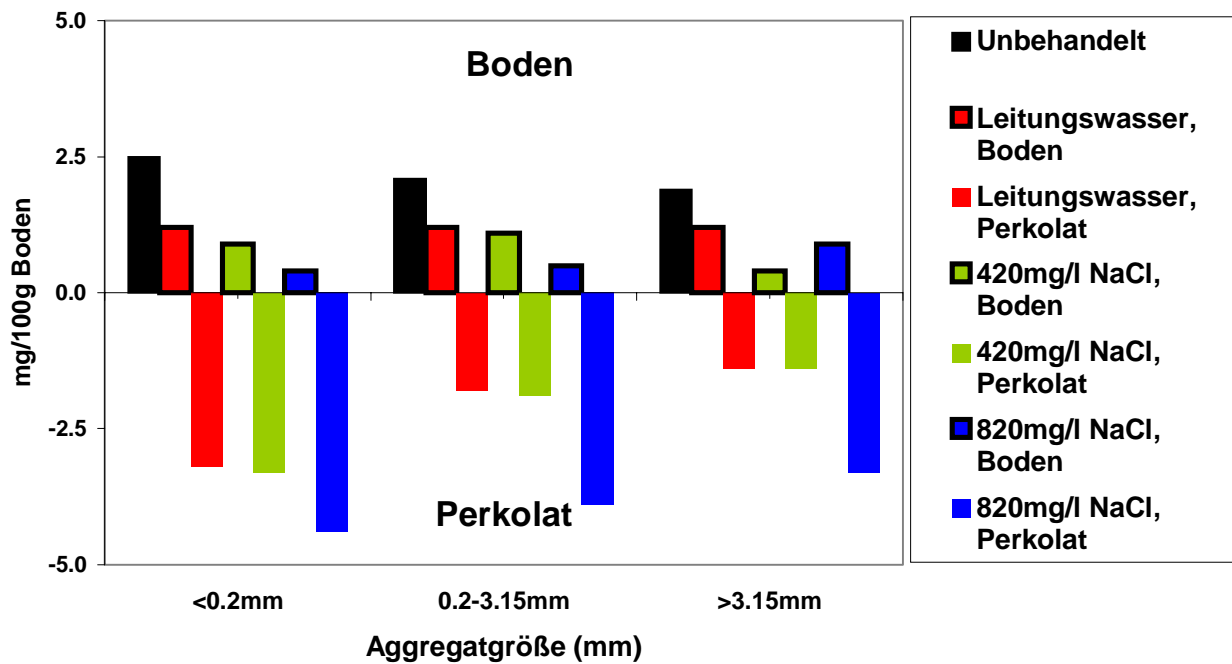


### Calcium, Standort V

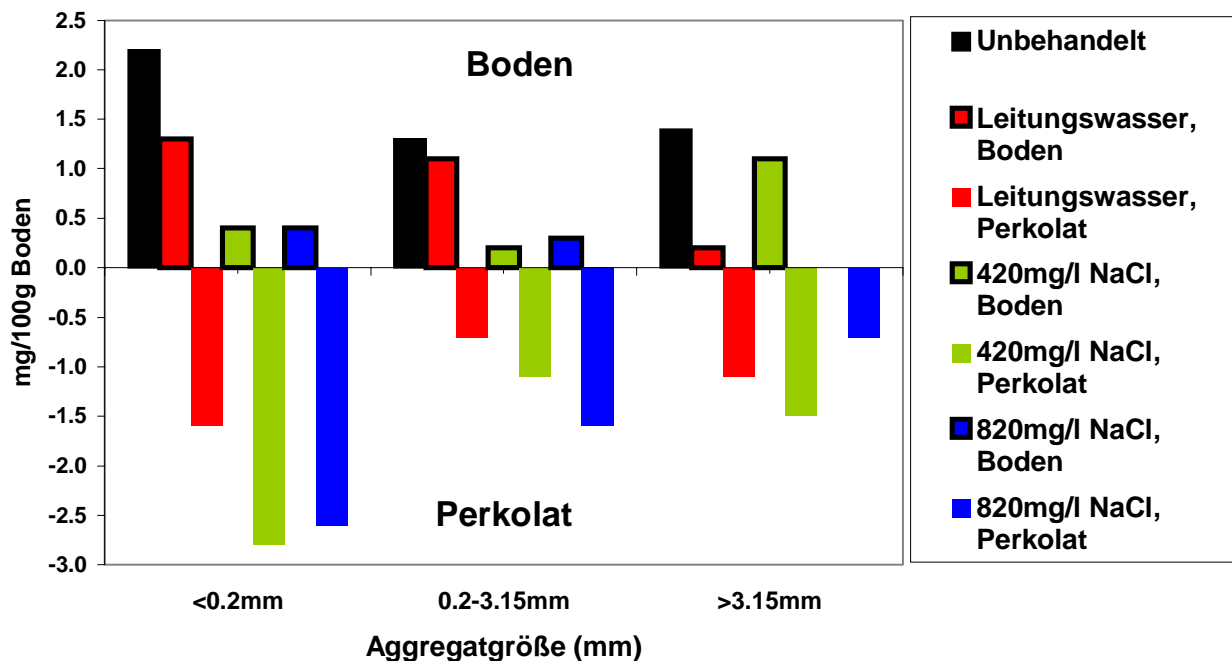


**Abb. 17-III: Ad- und Desorption von Calcium unter dem Einfluß von Leitungswasser und mit NaCl angereicherten Wässern in Abhängigkeit von der Aggregatsiebgröße bei zwei unterschiedlichen Böden (Standort III: 49% Ton; Standort V: 12% Ton). (HAGHIGHI, 1998)**

### Magnesium, Standort III



### Magnesium, Standort V



**Abb. 17-IV: Ad- und Desorption von Magnesium unter dem Einfluß von Leitungswasser und mit NaCl angereicherten Wässern in Abhängigkeit von der Aggregatsiebgröße bei zwei unterschiedlichen Böden (Standort III: 49% Ton; Standort V: 12% Ton). (HAGHIGHI, 1998)**